

## 9.5W防削顶双声道D类音频功率放大器

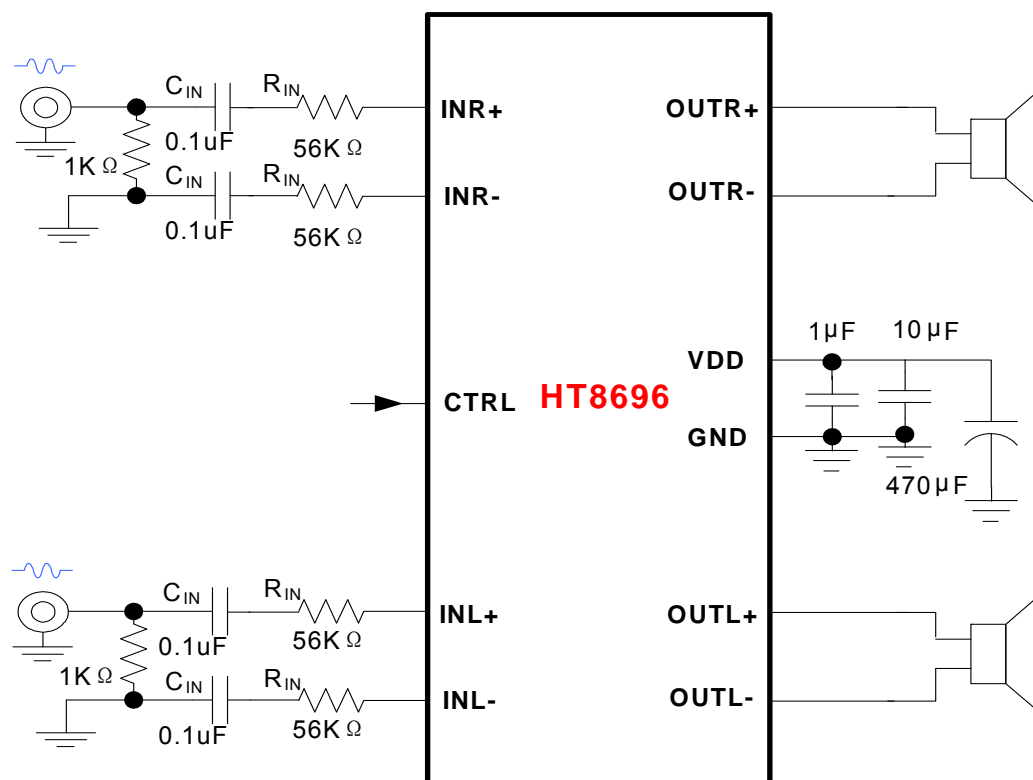
### ■ 特点

- 防削顶失真功能(Anti-Clipping Function, ACF)
- 免滤波器数字调制, 直接驱动扬声器
- 输出功率  
 $2 \times 9.5W$  ( $V_{DD}=8.5V, R_L=4\Omega, THD+N=10\%$ )  
 $2 \times 6.7W$  ( $V_{DD}=7.2V, R_L=4\Omega, THD+N=10\%$ )
- 过流保护功能
- 过热保护功能
- 欠压异常保护功能
- 无铅无卤封装, SOP16L-PP

### ■ 应用

- 蓝牙音箱
- 2.1声道小音箱
- iphone/ipod/ipod docking
- 平板电脑, 笔记本电脑
- 小尺寸LCD电视/监视器
- 便携式音箱
- 扩音器
- 拉杆音箱
- 便携式游戏机
- MP4, 导航仪

### ■ 典型应用图



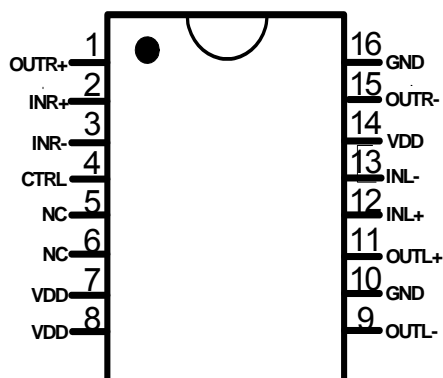
### ■ 概述

HT8696是一款防削顶失真的, 双声道免滤波D类音频功率放大器。在 $V_{DD}=8.5V$ 、 $THD+N=10\%$ 、 $4\Omega$ 负载条件下, 能连续输出 $2 \times 9.5W$ 功率。

HT8696具有防削顶失真(ACF)输出控制功能, 可检测并抑制由于输入音乐、语音信号幅度过大所引起的输出信号削顶失真(破音), 显著提高音质, 创造舒适听音享受, 并保护扬声器免受过载损坏。同时芯片也具有ACF-Off模式可配置。

HT8696内部集成免滤波器数字调制技术, 能够直接驱动扬声器, 并最大程度减小脉冲输出信号的失真和噪音。输出无需滤波网络, 极少的外部元器件节省了系统空间和成本, 是便携式应用的理想选择。

此外, HT8696内置的关断功能使待机电流最小化, 还集成了输出端过流保护、片内过温保护和电源欠压异常保护等功能。

**引脚信息**


SOP16L-PP顶视图

**引脚定义<sup>\*1</sup>**

SOP8L-PP 引脚号	引脚 名称	I/O	功能
1	OUTR+	O	右声道同相输出端 (BTL+)
2	INR+	A	右声道同相输入端 (差分+)
3	INR-	A	右声道反相输入端 (差分-)
4	CTRL	I	ACF和关断模式控制端
5,6	NC		
7,8,14	VDD	Power	电源
9	OUTL-	O	左声道反相输出端 (BTL-)
10,16	GND	Ground	地
11	OUTL+	O	左声道同相输出端 (BTL+)
12	INL+	A	左声道同相输入端 (差分+)
13	INL-	A	左声道反相输入端 (差分-)
15	OUTR-	O	右声道反相输出端 (BTL-)

注1 I: 输入端 O: 输出端 A: 模拟端

当大于VDD的电压外加于PN保护型端口 (ESD保护电路由PMOS和NMOS组成) 时, PMOS电路将有漏电流流过。

**订购信息**

H	T	8	6	9	6	XX
---	---	---	---	---	---	----

封装形式

产品型号	封装形式	顶面标记	工作温度范围	包装和供货形式
HT8696SP	SOP16L-PP	HT8696SP UVWXYZ <sup>*2</sup>	-40℃~85℃ (扩展工业级)	管装 50片/管

注2: WXYZ/UVWXYZ为内部生产跟踪随机编码。

注: 除特殊说明外, 以下页面的数据内容均针对SOP16L-PP封装形式的HT8696型号产品。

## ■ 电气特性

### ● 极限工作条件<sup>\*1</sup>

参数	符号	最小值	最大值	单位
电源电压范围	V <sub>DD</sub>	-0.3	9.3	V
输入信号电压范围 (IN+, IN-)	V <sub>IN</sub>	V <sub>SS</sub> -0.6	V <sub>DD</sub> +0.6	V
输入信号电压范围 (除IN+, IN-外)	V <sub>IN</sub>	V <sub>SS</sub> -0.3	V <sub>DD</sub> +0.3	V
工作环境温度范围	T <sub>A</sub>	-40	85	°C
工作结温范围	T <sub>J</sub>	-40	150	°C
储存温度	T <sub>STG</sub>	-50	150	°C

注1: 为保证器件可靠性和寿命, 以上绝对最大额定值不能超过。否则, 芯片可能立即造成永久性损坏或者其可靠性大大恶化。若输入端电压在可能超过V<sub>DD</sub>/GND的应用环境中使用, 推荐使用一个外部二极管来保证该电压不会超过绝对最大额定值。

### ● 推荐工作条件

参数	符号	条件	最小值	典型值	最大值	单位
电源电压 <sup>*2</sup>	V <sub>DD</sub>		3		9.0	V
工作环境温度	T <sub>a</sub>		-40	25	85	°C
扬声器阻抗	R <sub>L</sub>			4		Ω

注2: V<sub>DD</sub>的上升时间应当超过1μs。

### ● 电气特性<sup>3</sup>

V<sub>SS</sub>=0V, T<sub>a</sub>=25°C, C<sub>IN</sub>=0.1μF, R<sub>IN</sub> = 56k, 除非特殊说明

参数	符号	条件	最小值	典型值	最大值	单位
V <sub>DD</sub> 电源的启动阈值	V <sub>UVLH</sub>			2.3		V
V <sub>DD</sub> 电源的关断阈值	V <sub>UVLL</sub>			2.2		V
上电启动时间 (或从关断唤醒时间)	t <sub>STUP</sub>			280		ms
载波调制频率	f <sub>PWM</sub>			430		kHz
D类过流保护值	I <sub>max</sub>				5	A
<b>ACF Function</b>						
Class D ACF衰减增益	A <sub>a</sub>		-16		0	dB
ACF-Off 模式设置阈值	V <sub>MOD1</sub>		0.75V <sub>DD</sub>		V <sub>DD</sub>	V
ACF-1 模式设置阈值	V <sub>MOD2</sub>		0.45 V <sub>DD</sub>		0.70 V <sub>DD</sub>	V
ACF-2 模式设置阈值	V <sub>MOD3</sub>		0.10 V <sub>DD</sub>		0.40 V <sub>DD</sub>	V
SD 关断模式设置阈值	V <sub>MOD4</sub>		V <sub>SS</sub>		0.06 V <sub>DD</sub>	V
CTRL启动电压 <sup>*4</sup>	V <sub>CTRL_ON</sub>		0.8			V
CTRL内部下拉电阻	R <sub>CTRL</sub>			60		KΩ

注3: 此节电气特性随所选元件和PCB布局而有所变化。

注4: CTRL启动电压是指, 芯片从关断至启动, CTRL端的电压值。

$V_{DD} = 8.5V$ ,  $V_{SS} = 0V$ ,  $A_v = 26dB$ ,  $T_a = 25^\circ C$ ,  $C_{IN} = 0.1\mu F$ , ACF-Off模式, 除非特殊说明

参数	符号	条件		最小值	典型值	最大值	单位	
输出功率	$P_o$	$R_L = 4\Omega$	$f = 1kHz$ , THD+N=10%		$2 \times 9.5$		W	
		$R_L = 8\Omega$			$2 \times 5.3$			
		$R_L = 4\Omega$	$f = 1kHz$ , THD+N=1%		$2 \times 7.6$			
		$R_L = 8\Omega$			$2 \times 4.3$			
总谐波失真加噪声	THD+N	$P_o = 0.1W$	$R_L = 4\Omega$ , $f = 1kHz$		0.22		%	
		$P_o = 1.0W$			0.30		%	
		$P_o = 3.0W$			0.30		%	
输出噪声	$V_N$	$f = 20Hz \sim 20kHz$ , A加权			160		$\mu V_{rms}$	
信噪比	SNR	A加权, $A_v = 26dB$ , THD+N = 1%			91		dB	
失调电压	$V_{OS}$				$\pm 6.5$		mV	
通道隔离度	CS	$F = 1kHz$ , $P_o = 1W$			-96		dB	
效率	$\eta$	$R_L = 4\Omega + 22\mu H$ , THD+N = 10%			87		%	
		$R_L = 8\Omega + 33\mu H$ , THD+N = 10%			93		%	
静态电流	$I_{DD}$	No Load	Input Grounded		21		mA	
		With Load <sup>*5</sup>			27.5		mA	
关断电流	$I_{SD}$	No Load	CTRL= $V_{SS}$		1.0		$\mu A$	
		With Load <sup>*5</sup>			1.0		$\mu A$	
最大输入信号	$V_{IN\_max}$	$f_{IN} = 1kHz$ , THD+N $\leq 10\%$ , ACF-1 ON			1.85		V <sub>rms</sub>	
系统增益	$A_{V0}$	$R_{IN} = 56 k\Omega$			25.5		dB	

注5: 此处负载使用4ohm+22uH来模拟喇叭, 下同。

$V_{DD} = 7.2V$ ,  $V_{SS} = 0V$ ,  $A_v = 26dB$ ,  $T_a = 25^\circ C$ ,  $C_{IN} = 0.1\mu F$ , ACF-Off模式, 除非特殊说明

参数	符号	条件		最小值	典型值	最大值	单位	
输出功率	$P_o$	$R_L = 4\Omega$	$f = 1kHz$ , THD+N=10%		$2 \times 6.75$		W	
		$R_L = 8\Omega$			$2 \times 3.8$			
		$R_L = 4\Omega$	$f = 1kHz$ , THD+N=1%		$2 \times 5.45$			
		$R_L = 8\Omega$			$2 \times 3.1$			
总谐波失真加噪声	THD+N	$P_o = 0.1W$	$R_L = 4\Omega$ , $f = 1kHz$		0.25		%	
		$P_o = 1.0W$			0.21		%	
		$P_o = 3.0W$			0.30		%	
输出噪声	$V_N$	$f = 20Hz \sim 20kHz$ , A加权			150		$\mu V_{rms}$	
信噪比	SNR	A加权, $A_v = 26dB$ , THD+N = 1%			91		dB	
失调电压	$V_{OS}$				$\pm 14$		mV	
通道隔离度	CS	$f = 1kHz$ , $P_o = 1W$			-94		dB	
静态电流	$I_{DD}$	No Load	Input Grounded		15		mA	
		With Load <sup>*5</sup>			23		mA	
关断电流	$I_{SD}$	No Load	CTRL= $V_{SS}$		0.5		$\mu A$	
		With Load <sup>*5</sup>			0.5		$\mu A$	
最大输入信号	$V_{IN\_max}$	$f_{IN} = 1kHz$ , THD+N $\leq 10\%$ , ACF-1 ON			1.50		V <sub>rms</sub>	
系统增益	$A_{V0}$	$R_{IN} = 56 k\Omega$			25.5		dB	

$V_{DD} = 6.5V$ ,  $V_{SS} = 0V$ ,  $A_v = 26dB$ ,  $T_a = 25^\circ C$ ,  $C_{IN} = 0.1\mu F$ , ACF-Off模式, 除非特殊说明

参数	符号	条件	最小值	典型值	最大值	单位
输出功率	$P_o$	$R_L = 4\Omega$	$f = 1kHz$ , THD+N=10%		$2 \times 5.5$	W
		$R_L = 8\Omega$			$2 \times 3.1$	
		$R_L = 4\Omega$	$f = 1kHz$ , THD+N=1%		$2 \times 4.45$	
		$R_L = 8\Omega$			$2 \times 2.5$	
总谐波失真加噪声	THD+N	$P_o = 0.1W$	$R_L = 4\Omega$ , $f = 1kHz$		0.25	%
		$P_o = 1.0W$			0.20	%
		$P_o = 3.0W$			0.35	%
输出噪声	$V_N$	$f = 20Hz \sim 20kHz$ , A加权		150		$\mu V_{rms}$
信噪比	SNR	A加权, $A_v = 26dB$ , THD+N = 1%		90		dB
失调电压	$V_{OS}$			$\pm 16$		mV
通道隔离度	CS	$F = 1kHz$ , $P_o = 1W$		-90		dB
效率	$\eta$	$R_L = 4\Omega + 22\mu H$ , THD+N = 10%		88		%
		$R_L = 8\Omega + 33\mu H$ , THD+N = 10%		93		%
静态电流	$I_{DD}$	No Load	Input Grounded		13	mA
		With Load <sup>*5</sup>			21	mA
关断电流	$I_{SD}$	No Load	CTRL= $V_{SS}$		0.5	$\mu A$
		With Load <sup>*5</sup>			0.5	$\mu A$
最大输入信号	$V_{IN\_max}$	$f_{IN} = 1kHz$ , THD+N $\leq 10\%$ , ACF-1 ON		1.35		V <sub>rms</sub>
系统增益	$AV_0$	$R_{IN} = 56 k\Omega$		25.7		dB

 $V_{DD} = 5.0V$ ,  $V_{SS} = 0V$ ,  $A_v = 26dB$ ,  $T_a = 25^\circ C$ ,  $C_{IN} = 0.1\mu F$ , ACF-Off模式, 除非特殊说明

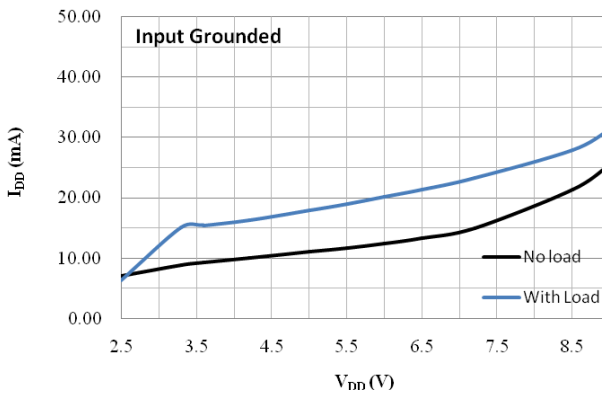
参数	符号	条件	最小值	典型值	最大值	单位
输出功率	$P_o$	$R_L = 4\Omega$	$f = 1kHz$ , THD+N=10%		$2 \times 3.25$	W
		$R_L = 8\Omega$			$2 \times 1.8$	
		$R_L = 4\Omega$	$f = 1kHz$ , THD+N=1%		$2 \times 2.6$	
		$R_L = 8\Omega$			$2 \times 1.5$	
总谐波失真加噪声	THD+N	$P_o = 0.1W$	$R_L = 4\Omega$ , $f = 1kHz$		0.18	%
		$P_o = 1.0W$			0.15	%
输出噪声	$V_N$	$f = 20Hz \sim 20kHz$ , A加权		150		$\mu V_{rms}$
信噪比	SNR	A加权, $A_v = 26dB$ , THD+N = 1%		87		dB
失调电压	$V_{OS}$			$\pm 15$		mV
通道隔离度	CS	$f = 1kHz$ , $P_o = 1W$		-86		dB
静态电流	$I_{DD}$	No Load	Input Grounded		11	mA
		With Load <sup>*5</sup>			18	mA
关断电流	$I_{SD}$	No Load	CTRL= $V_{SS}$		0.5	$\mu A$
		With Load <sup>*5</sup>			0.5	$\mu A$
最大输入信号	$V_{IN\_max}$	$f_{IN} = 1kHz$ , THD+N $\leq 10\%$ , ACF-1 ON		1.0		V <sub>rms</sub>
系统增益	$AV_0$	$R_{IN} = 56 k\Omega$		25.7		dB

$V_{DD} = 3.6V$ ,  $V_{SS} = 0V$ ,  $A_v = 26dB$ ,  $T_a = 25^\circ C$ ,  $C_{IN} = 0.1\mu F$ , ACF-Off模式, 除非特殊说明

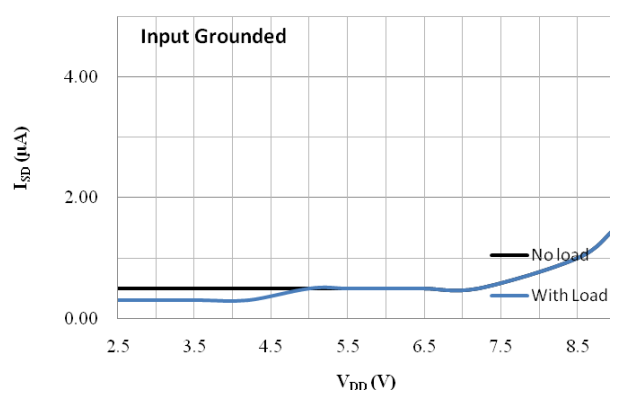
参数	符号	条件	最小值	典型值	最大值	单位
输出功率	$P_o$	$R_L = 4\Omega$	$f = 1kHz$ , THD+N=10%	$2 \times 1.6$		W
		$R_L = 8\Omega$		$2 \times 0.95$		
		$R_L = 4\Omega$	$f = 1kHz$ , THD+N=1%	$2 \times 1.3$		
		$R_L = 8\Omega$		$2 \times 0.75$		
总谐波失真加噪声	THD+N	$P_o = 0.1W$	$R_L = 4\Omega$ , $f = 1kHz$	0.15		%
		$P_o = 1.0W$		0.15		%
输出噪声	$V_N$	$f = 20Hz \sim 20kHz$ , A加权		140		$\mu V_{rms}$
信噪比	SNR	A加权, $A_v = 26dB$ , THD+N = 1%		85		dB
失调电压	$V_{OS}$			$\pm 13$		mV
效率	$\eta$	$R_L = 4\Omega + 22\mu H$ , THD+N = 10%		86.5		%
		$R_L = 8\Omega + 33\mu H$ , THD+N = 10%		91.5		%
静态电流	$I_{DD}$	No Load	Input Grounded	9		mA
		With Load <sup>*5</sup>		15.5		mA
关断电流	$I_{SD}$	No Load	CTRL= $V_{SS}$	0.5		$\mu A$
		With Load <sup>*5</sup>		0.3		$\mu A$
最大输入信号	$V_{IN\_max}$	$f_{IN} = 1kHz$ , THD+N $\leq 10\%$ , ACF-1 ON		0.70		Vrms
系统增益	$AV_0$	$R_{IN} = 56 k\Omega$		25.8		dB

■ 典型特性曲线

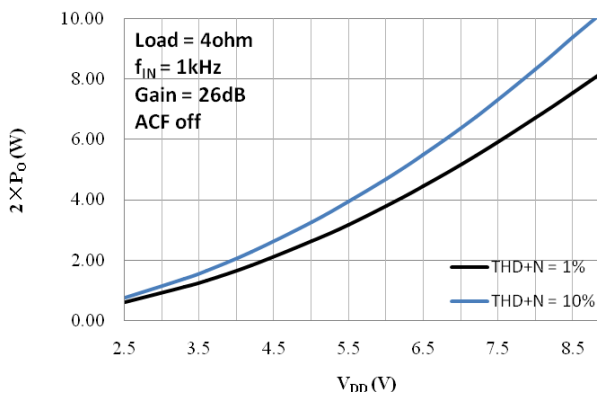
$V_{DD}$  vs  $I_{DD}$



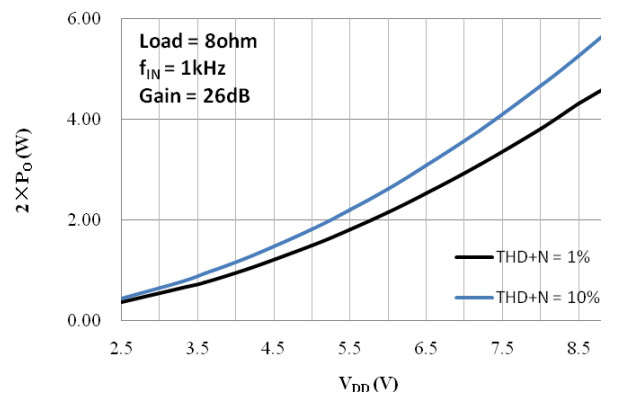
$V_{DD}$  vs  $I_{SD}$



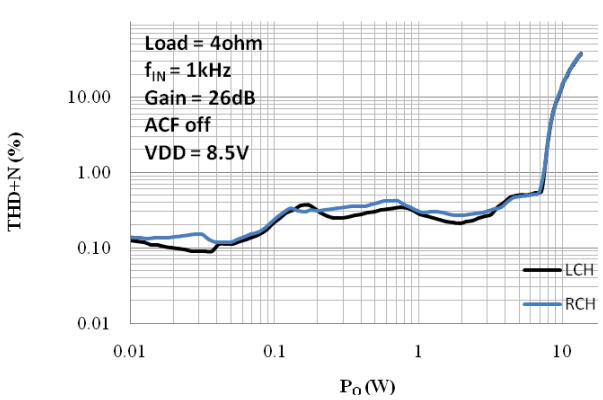
$V_{DD}$  vs  $P_O$



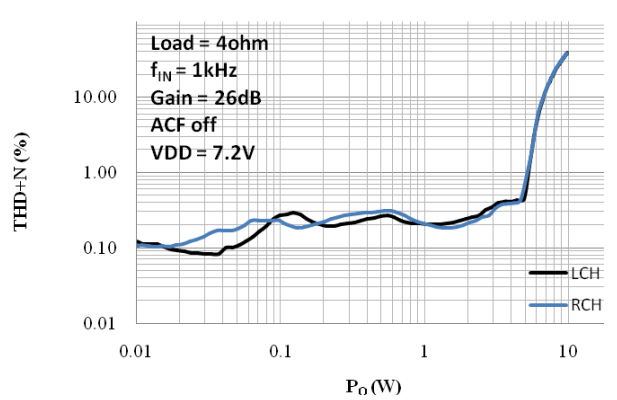
$V_{DD}$  vs  $P_O$



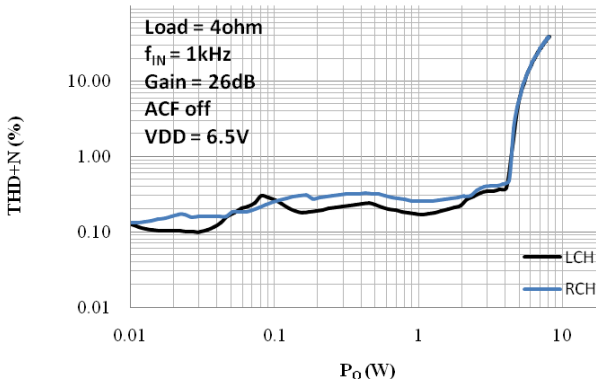
$P_O$  vs THD+N



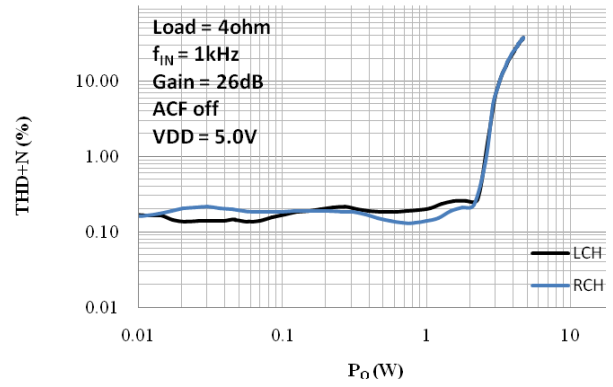
$P_O$  vs THD+N



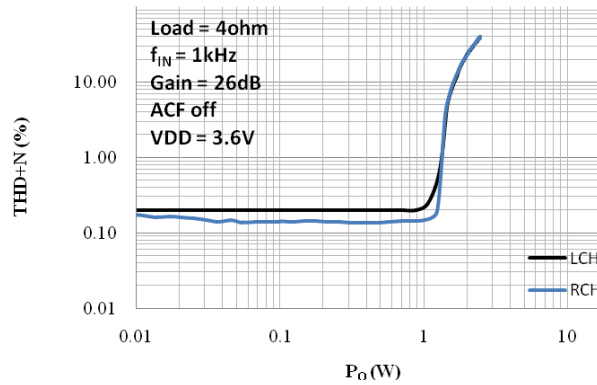
**P<sub>O</sub> vs THD+N**



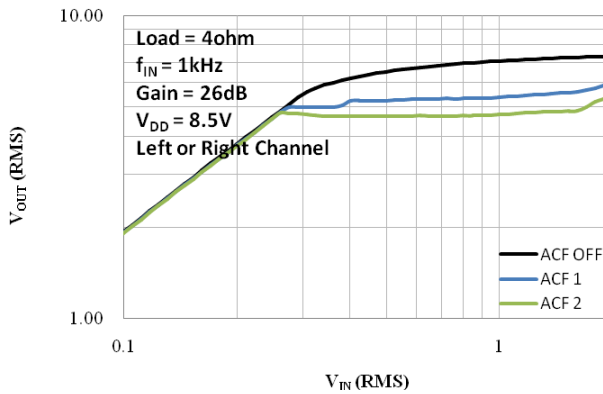
**P<sub>O</sub> vs THD+N**



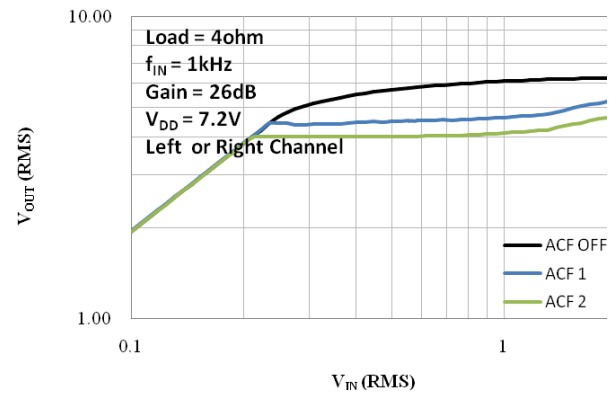
**P<sub>O</sub> vs THD+N**



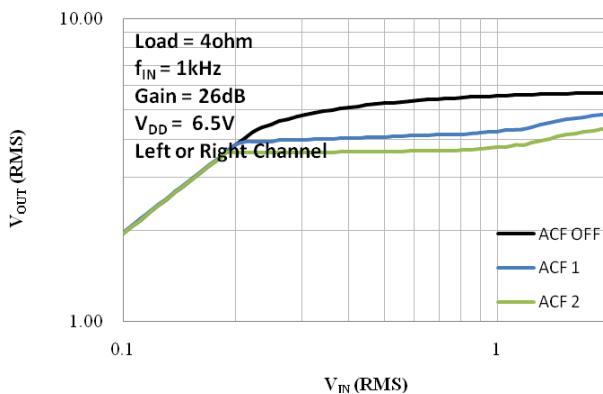
**V<sub>IN</sub> vs V<sub>OUT</sub>**



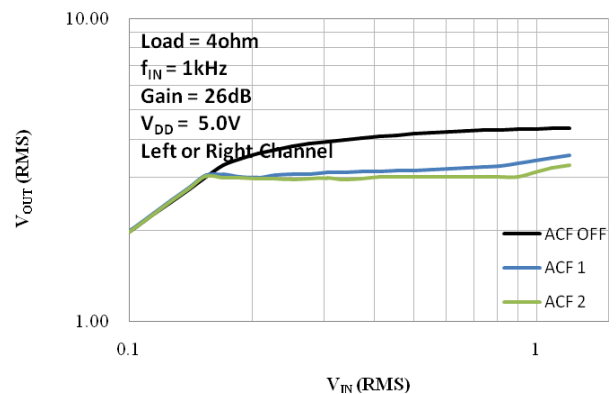
**V<sub>IN</sub> vs V<sub>OUT</sub>**



**V<sub>IN</sub> vs V<sub>OUT</sub>**

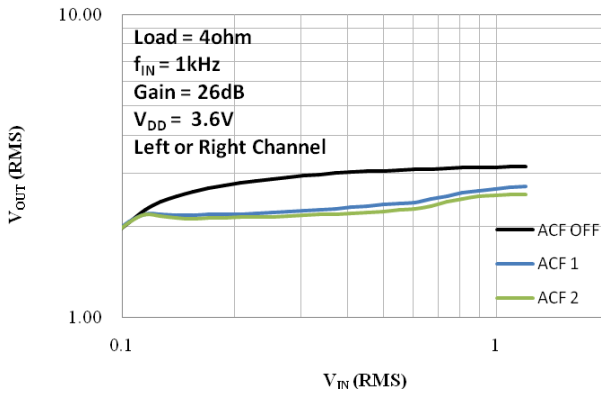


**V<sub>IN</sub> vs V<sub>OUT</sub>**

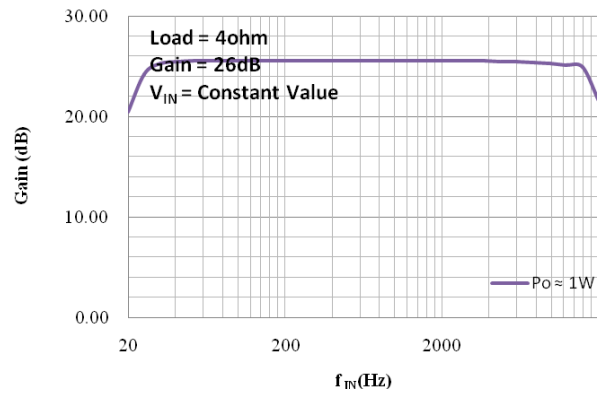




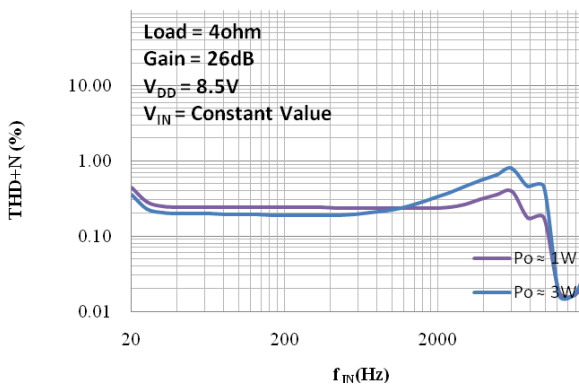
**$V_{IN}$  vs  $V_{OUT}$**



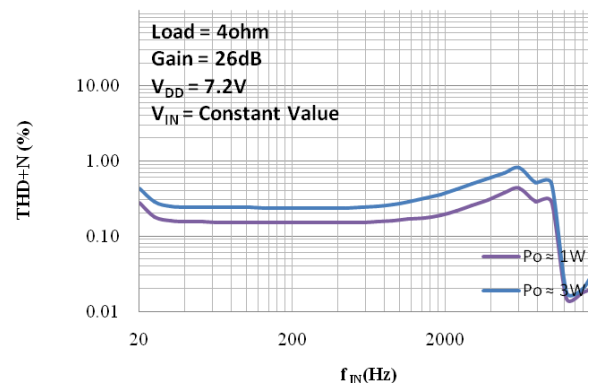
**$f_{IN}$  vs Gain**



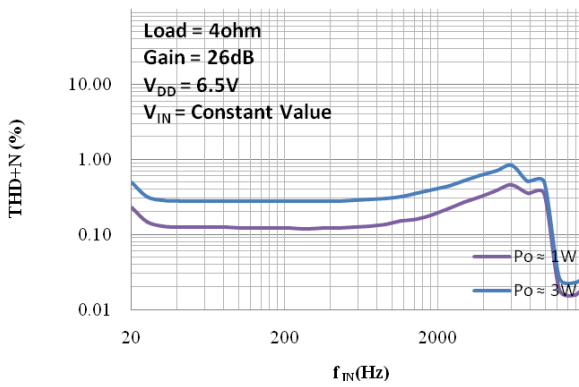
**$f_{IN}$  vs THD+N**



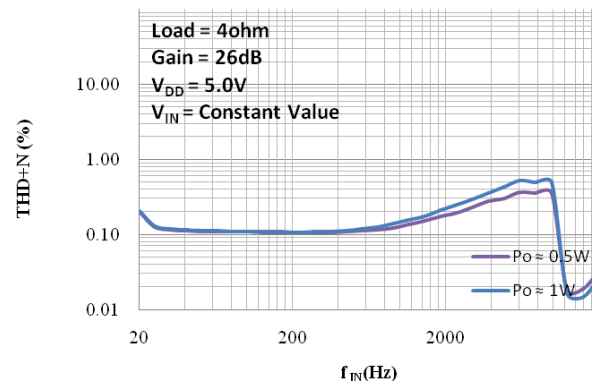
**$f_{IN}$  vs THD+N**



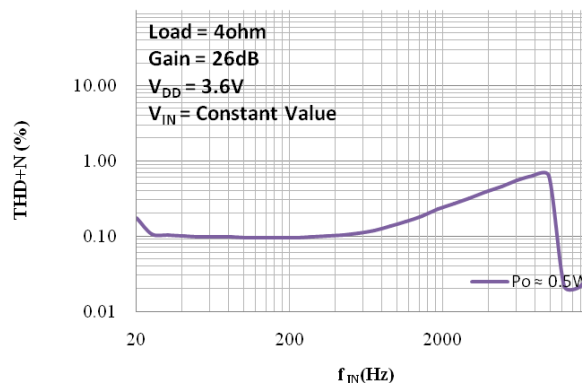
**$f_{IN}$  vs THD+N**

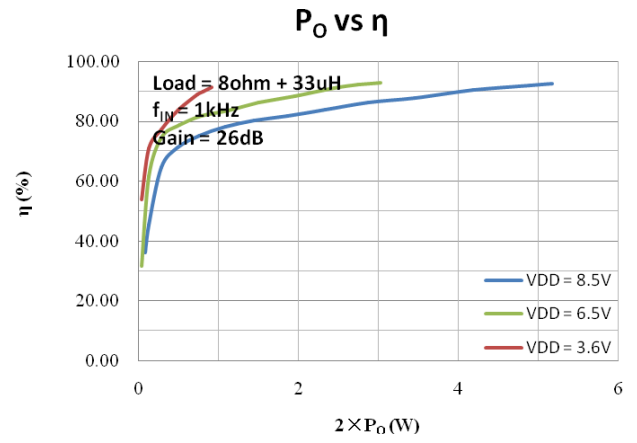
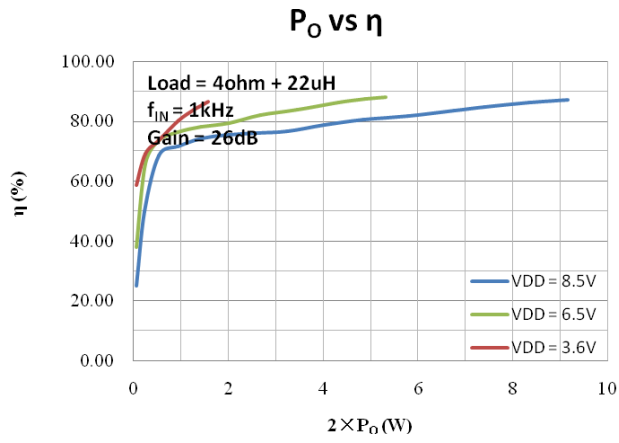


**$f_{IN}$  vs THD+N**



**$f_{IN}$  vs THD+N**





## ■ 功能描述及应用信息

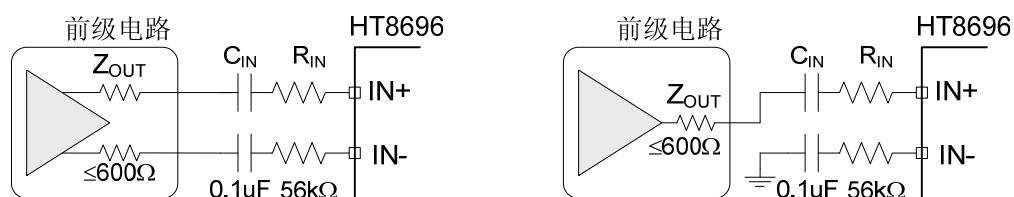
### ● 输入配置

HT8696 接受模拟差分或单端音频信号输入，产生 PWM 脉冲输出信号驱动扬声器。

对差分输入，通过隔直电容  $C_{IN}$  和输入电阻  $R_{IN}$  分别输入到 IN+ 和 IN- 端。系统增益  $A_v = 1150k/R_{IN}$ ，输入 RC 高通滤波器的截止频率  $f_c = 1/(2\pi R_{IN} C_{IN})$ 。

对单端输入，则通过  $C_{IN}$  耦合到 IN+ 端。IN- 端必须通过输入电阻和电容（与  $C_{IN}$ 、 $R_{IN}$  值相同）接地。增益  $A_v$  和截止频率  $f_c$  与差分输入时相同。

注意系统前级电路的输出阻抗  $Z_{OUT}$  应不超过  $600\Omega$ 。



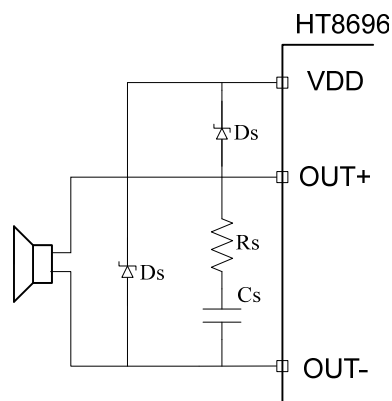
图表 1 (1) 差分输入;

(2) 单端输入

### ● 功放输出

一般而言，输出端可直接连接负载喇叭。如果输出端的输出线较长，或者对 EMI 的要求较高，则可选择添置铁氧体磁珠或 LC 滤波器。

另外，如果电源电压较大 ( $>8.5V$ )，纹波较严重，或输入信号幅度较大 ( $\geq 1.0V_{rms}$ )，或负载喇叭阻抗较小 ( $<4\Omega$ ) 时，有必要适当增大电源端电容（至少  $100\mu F$  以上），并在输出端加入 Snubber 电路和肖特基二极管（如图 2），防止芯片异常。



图表 2 输出端的连接

推荐参数:

$R_s$ :  $1.5 \sim 2\Omega$ ;

$C_s$ :  $330pF \sim 680pF$ ;

$D_s$ : 正向平均电流  $\geq 2A$ ; 正向浪涌峰值电流  $\geq 6A$ ; 正向电压 ( $I_F = 1A$ )  $\leq 0.38V$ 。

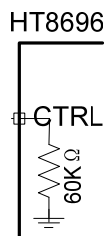
### ● CTRL 模式设置

在 CTRL 端输入不同电压值，能实现 4 种工作模式，即防削顶模式 1 (ACF-1)，防削顶模式 2 (ACF-2)，防削顶功能关闭模式 (ACF-Off) 和芯片关断模式 (SD)，详见下表。

表格 1 CTRL 引脚不同模式设置的输入电压

参数名	符号	最小值	典型值	最大值	单位
ACF-Off 模式的设置阈值电压	$V_{MOD1}$	$0.75V_{DD}$		$V_{DD}$	V
ACF-1 模式的设置阈值电压	$V_{MOD2}$	$0.45V_{DD}$		$0.70V_{DD}$	V
ACF-2模式的设置阈值电压	$V_{MOD3}$	$0.10V_{DD}$		$0.40V_{DD}$	V
SD 模式的设置阈值电压	$V_{MOD4}$	VSS		$0.06V_{DD}$	V

在配置 CTRL 端外部电压时，需要注意的是，其内部有一个 60Kohm 下拉电阻，如下图示。

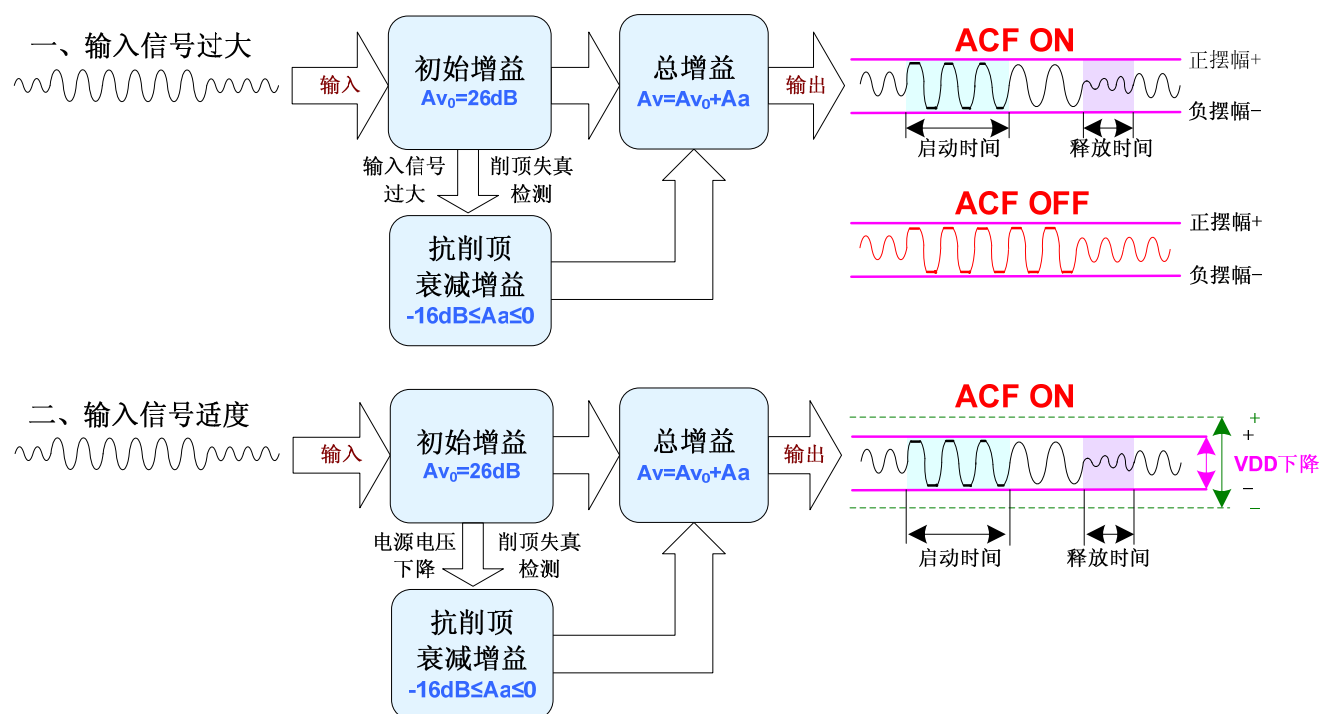


图表 3 CTRL 端内部电阻

## ● CTRL模式功能描述

### (一) ACF ON 模式

在 ACF-1、ACF-2 模式下，当电路检测到输入信号幅度过大而产生输出削顶时，HT8696 通过自动调整系统增益，控制输出达到一种最大限度的无削顶失真功率水平，由此大大改善了音质效果。此外，当电源电压下降时，HT8696 也能自动衰减输出增益，实现与 VDD 下降值相匹配的最大限度无削顶输出水平。



图表 4 ACF 工作原理示意图

ACF ON 模式下的启动时间 (Attack time) 指在突然输入足够大信号而产生输出削顶的条件下，从 ACF 启动对放大器的增益调整，直到增益从  $Av_0$  衰减至距目标衰减增益 3dB 时的时间间隔；释放时间 (Release time) 指从产生削顶的输入条件消失，到增益退出衰减状态恢复到  $Av_0$  的时间间隔。HT8696 的最大衰减增益为 16dB。

ACF-1 和 ACF-2 模式具有不同的启动时间和释放时间 (见下表)。

表格 2 ACF-1 和 ACF-2 模式区别

模式	启动时间	释放时间
ACF-1 (推荐)	50ms	64ms
ACF-2	2.5ms	1200ms

## (二) ACF OFF 模式

在 ACF-Off 模式下, ACF 功能被关闭, HT8696 不对输出削顶条件作检测, 也不对系统增益作自动调整操作, 系统增益保持为  $A_v=A_{v0}=26\text{dB}$  恒定不变。HT8696 可能因输出存在破音失真而音质变坏。

## (三) SD 模式

在关断模式 (低功耗待机) 下, 芯片关闭所有功能并将功耗降低到最小, 输出端为弱低电平状态 (内部通过高阻接地)。

### ● 咔嗒-噼噗声消除

HT8696 内置控制电路实现了全面的杂音抑制效果, 有效地抑制住了系统在上电、下电、关断及其唤醒操作过程中出现的瞬态咔嗒-噼噗 (Click-Pop) 噪声。

为达到更优异的咔嗒-噼噗声消除效果, 一般情况下, 建议采用  $0.1\mu\text{F}$  或更小的隔直电容  $C_{IN}$ 。同时 POP 噪声还可通过下列上电、下电时关断模式的时序控制措施来达到杂声微乎其微的效果:

- 电源上电时, 保持关断模式, 等电源足够稳定后再解除关断模式。
- 电源下电时, 提前设为关断模式。

### ● 保护功能

HT8696 具有以下几种保护功能: 输出端过流保护、片内过温保护、电源欠压异常保护。

#### (1) 过流保护

当检测到一输出端对电源、对地、或对另一输出端短路时, 过流保护启动, 输出端切换至高阻态, 防止芯片烧毁损坏。短路情况消除后, 通过关断、唤醒一次芯片, 或重新上电均能使芯片退出保护模式。

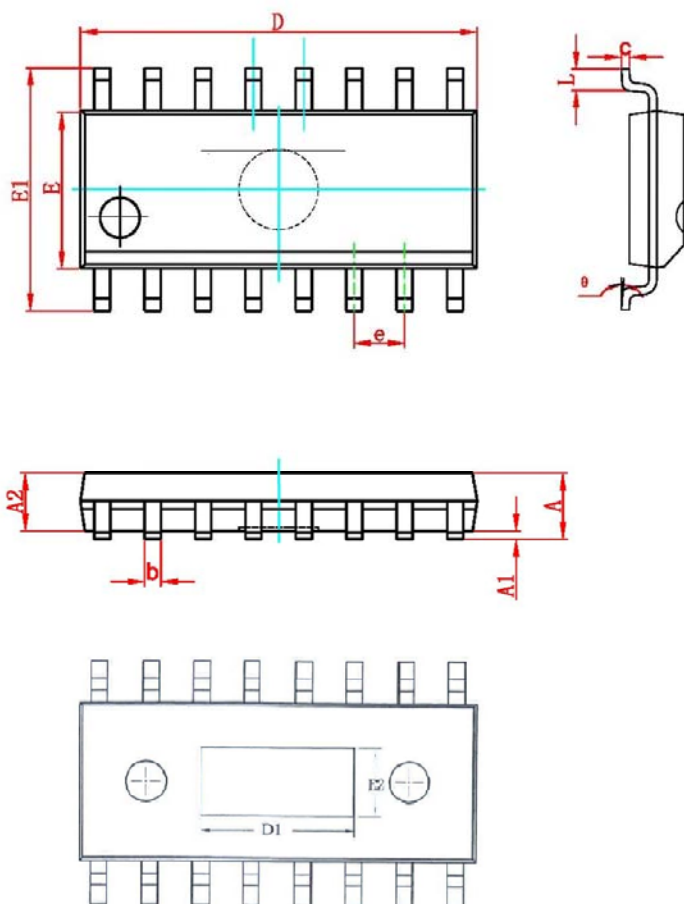
#### (2) 过温保护

当检测到芯片内温度超过  $150^{\circ}\text{C}$  时, 过温保护启动, 正负输出端切换至弱低电平状态 (内部通过高阻接地), 防止芯片被热击穿损坏。

#### (3) 欠压保护

当检测到电源端 VDD 低于  $V_{UVLL}$  ( $1.9\text{V}$ ), 启动欠压保护, 输出端为弱低电平状态 (内部通过高阻接地); 当检测到 VDD 高于  $V_{UVLH}$  ( $2.2\text{V}$ ), 保护模式自动解除, 经启动时间  $T_{STUP}$  后进入正常工作状态。

■ 封装外形



符号	尺寸 (mm)	
	最小	最大
A	-	1.75
A1	0.05	0.15
A2	1.30	1.50
b	0.39	0.48
c	0.21	0.26
D	9.70	10.10
D1	4.57(REF)	
E	3.70	4.10
E1	5.80	6.20
E2	2.41(REF)	
e	1.27(BSC)	
L	0.50	0.80
$\theta$	0°	8°

嘉兴禾润电子科技有限公司

Jiaxing Heroic Technology Co., Ltd.

地址：浙江省嘉兴市亚太路 JRC 大厦 A 座三层

电话：0573-82583866 82585565

传真：0573-82585078

E-mail: sales@heroic.com.cn

网址：www.heroic.com.cn